EVALUASI K-MEANS DAN FUZZY-C-MEANS CLUSTERING ANALISIS DATA HIV DI TINGKAT PROVINSI

Gabriel Arnold Budianto

Program Studi Teknik Informatika, Fakultas Teknologi Informasi, Universitas Tarumanagara, Jln. Letjen S. Parman No. 1, Jakarta, 11440, Indonesia *Email: gabriel.535210061@stu.untar.ac.id*

ABSTRAK

HIV atau *Human Immunodeficiency Virus* adalah suatu penyakit yang berbahaya karena merusak imun tubuh dengan menginfeksi darah dan sel-sel didalam tubuh. Penyakit ini bisa mematikan dan harus diwaspadai karena penyebaran penyakit ini sangat tumbuh dengan cepat. Penyakit HIV cepat menular dengan cara seks bebas atau berhubungan dengan orang yang sudah terkena HIV melalui air liur atau seorang perempuan menyusui, bahkan bisa melalui kontaminasi alat Kesehatan seperti transfusi darah. Di provinsi Jawa Timur Surabaya kasus HIV sangat tinggi, maka dalam kasus ini dipelukan analisis data tentang penyebaran penyakit kasus HIV di provinsi Jawa Timur kota Surabaya berikut data pengamanan yang sesuai standar Kesehatan nasional Indonesia di berbagai puskesmas. Pada analisis data ini diperoleh dari website katalog.data.co.id. Proses analisis menggunakan metode *clustering* K-Means dan *Fuzzy-C-Means* untuk mengevaluasi dan mendata berapa banyak orang yang terjangkit HIV dan yang mendapatkan pelayanan berstandar kesehatan nasional Indonesia di setiap puskesmas yang ada di Surabaya. Hasil pengelompokkan evaluasi ini dapat digunakan untuk memetakan penyebaran penyakit HIV untuk berupaya tidak tersebar luas dalam bentuk penangananya.

Kata kunci— Evaluasi, Clustering, HIV, K-means, Fuzzy-C-means

ABSTRACT

HIV or Human Immunodeficiency Virus is a dangerous disease because it damages the body's immunity by infecting the blood and cells in the body. This disease can be deadly and should be aware because the spread of this disease is very fast growing. HIV disease is quickly transmitted by way of free sex or in contact with people who have HIV through saliva or a breastfeeding woman, can even be through contamination of medical devices such as blood transfusions. In the province of East Java Surabaya HIV cases are very high, so in this case it is necessary to analyze data on the spread of HIV cases in the province of East Java Surabaya city along with treatment data according to Indonesian national health standards in various health centers. In this data analysis obtained from the website catalog.data.co.id. The analysis process uses K-Means and Fuzzy-C-Means clustering methods to evaluate and record how many people are infected with HIV and who get Indonesian national health standard services at each health center in Surabaya. The results of this evaluation clustering can be used to map the spread of HIV disease to try not to spread widely in the form of treatment.

Keywords -. Evaluation, Clustering, HIV, K-means, Fuzzy-C-means

1.PENDAHULUAN

Human Immunodeficiency Virus (HIV) adalah virus yang dapat merusak kekebalan sistem tubuh terutama imun dan sel darah putih mengalami kerusakan pada bagian limfosit pada tubuh. Kasus ini dapat berakibat turunnya sistem kekebalan tubuh penderita HIV. Banyak dari beberapa orang mampu hidup berdampingan dengan tidak tampak seorang terkena penyakit HIV dan ada kasus

yang tidak membutuhkan pengobatan [1]. Tahun 2019 sampai tahun 2023, kasus HIV/AIDS mendapatkan sorotan publik karena banyak data anak-anak dibawah umur yang terkena HIV di Jawa Timur Surabaya merupakan provinsi kedua setelah DKI Jakarta dengan penderita sebanyak 42.399 Jiwa [2].

Begitu meningkatnya kasus penyakit HIV di Indonesia telah banyak terjadi di wilayah kota. HIV meular dengan cara berhubungan seksual atau seks bebas dalam pergaulan, transfuse darah dan air liur yang terkena HIV bahkan seorang perempuan menyusui terkena HIV [3]. Dengan demikian semua instansi terkait Kesehatan maupun keamanan nasional Indonesia harus bertindak signifikan dan akurat. *Machine learning* merupakan salah satu AI yang dapat digunakan untuk evaluasi penelitian berdasarkan penelitian terlebih dahulu yang dilakukan oleh Rut Indra Lita Sinaga, dkk., tentang "Pengelompokkan Jumlah Kasus Penyakit Aids berdasarkan Provinsi Menggunakan metode K-means" bersdasarkan provinsi pada tahun 2016-2018 dengan metode K-Means terbagi menajdi 2 model yaitu Cluster 1 kategori rendah dan cluster 2 kategori tinggi [4]. Kemudian dengan metode Fuzzy-C-Means yang dapat melakukan penyebaran data pada seluruh cluster menggunakan FCM ini mencari tahu seberapa besar pengaruh yang dimiliki terhadap masing-masing data Penelitian evaluasi ini bertujuan untuk memberikan evaluasi terhadap semua warga provinsi Surabaya melalui puskesmas yang tersebar dikecamatan dan kelurahan dengan kasus HIV beresiko tinggi dan rendah dalam penaganan di kesehatan setempat dalam upaya penanggulangan penyebaran dan pencegahan secara luas..

2. METODE PENELITIAN

2.1 Sumber data

Data penelitian ini berasal dari Provinsi Jawa Timur yang didapatkan dari website katalog.data.co.id melalui link. Data diambil pada bulan September 2023, data tersebut berisi data jumlah kasus HIV berdasarkan kelompok jenis laki-laki dan perempuan beserta jumlah yang mendapatkan penagangan standar kesehatan Indonesia.

2.1.1 Gambar dan Tabel

Data ini memiliki sebanyak 304 datasets dengan fitur yaitu Kecamatan, kelurahan, jenis kelamin, penaganan, jumlah penderita, Format data yang digunakan dapat dilihat pada Tabel 1.

| 2 | Puskesm Kel Taml | ode_sarkecamat_ruang_l 1E+06 Kec. Ase SKDR | Surveilar | 3 | n | 0 Surveilar | | n | | | | | | Т |
|---|--|---|-----------|---|-----|-------------|-----------|-----|-----|--|------|------|------|-------|
| | Puskesm Kel Sem | 1E+06 Kec. Ber SKDB | Surveilar | 3 | ő. | 0 Surveilar | | ň | | | | | | |
| | Puskesm Kel Kand | 1E+06 Kec Ber SKDB | Surveilar | 3 | o o | 0 Surveilar | | 0 | | | | | | |
| | Puskesm Kel, Laka | 1E+06 Kec. Lak KLB | penceda | 3 | 1 | 0 pencega | | 1 | | | | | | |
| | Puskesm Kel Lidal | 1E+06 Kec. Lak KLB | pencega | 3 | o o | 0 pencega | | 0 | 46 | | | | | |
| | Puskesm Kel, Lidal Puskesm Kel, Sum | 1E+06 Kec. Lak KLB | | 3 | 1 | 0 pencega | | 1 | 46 | | | | | |
| | | | pencega | 3 | 1 | | | - 1 | 102 | | | | | |
| | Puskesm Kel, Jerul | 1E+06 Kec. Lak KLB | pencega | | 0 | 0 pencega | | 0 | 102 | | | | | |
| | Puskesm Kel. Lidal | 1E+06 Keo. Lak KLB | pencega | 3 | | 0 pencega | | | | | | | | |
| | Puskesm Kel. Sum | 1E+06 Kec. Lak KLB | pencega | 3 | 0 | 0 pencega | | 0 | 9 | | | | | |
| | Puskesm Kel. Bang | 1E+06 Kec. Lak KLB | pencega | 3 | 0 | 0 pencega | | 0 | | | | | | |
| | Puskesm Kel. Sam | 1E+06 Kec. San KLB | pencega | 3 | 0 | 0 pencega | | 0 | 46 | | | | | |
| | Puskesm Kel, Kano | 1E+06 Kec. Ber KLB | pencega | 3 | 0 | 0 pencega | | 0 | | | | | | |
| | Puskesm Kel. Rom | 1E+06 Kec. Ber KLB | pencega | 3 | 0 | 0 pencega | | 0 | | | | | | |
| | Puskesm Kel. Tanc | 1E+06 Kec. Tan SKDR | Surveilar | 3 | 0 | 0 Surveilar | | 0 | | | | | | |
| | Puskesm Kel, Kara | 1E+06 Kec. Tan SKDR | Surveilar | 3 | 0 | 0 Surveilar | | 0 | | | | | | |
| | Puskesm Kel. Taml | 1E+06 Kec. Ber KLB | pencega | 3 | 0 | 0 pencega | | 0 | | | | | | |
| | Puskesm Kel, Aser | 1E+06 Kec. Ase SKDR | Surveilar | 3 | 0 | 0 Surveilar | Surveilar | 0 | | | | | | |
| | Puskesm Kel, Tanji | 1E+06 Kec. Suk KLB | pencega | 3 | 0 | 0 pencega | Penanga | 0 | 2 | | | | | |
| | Puskesm Kel, Sono | 1E+06 Keo, Suk KLB | pencega | 3 | 0 | 0 pencega | Penanga | 0 | | | | | | |
| | Puskesm Kel, Puta | 1E+06 Kec. Suk KLB | pencega | 3 | 0 | 0 pencega | Penanga | 0 | | | | | | |
| | Puskesm Kel, Simo | 1E+06 Keo, Suk KLB | pencega | 3 | 0 | 0 pencega | Penanga | 0 | 11 | | | | | |
| | Puskesm Kel, Simc | 1E+06 Kec. Suk KLB | pencega | 3 | 0 | 0 pencega | | 0 | | | | | | |
| | Puskesm Kel Sukc | 1E+06 Kec. Suk KLB | pencega | 3 | ñ | 0 pencega | | ñ | | | | | | |
| | Puskesm Kel, Gent | 1E+06 Kec. Ase SKDB | Surveilar | 3 | 0 | 0 Surveilar | | 0 | | | | | | |
| | Puskesm Kel Baby | 1E+06 Kec. Pak KLB | pencega | 3 | 0 | 0 pencega | | n | 84 | | | | | |
| | Puskesm Kel. Paka | 1E+06 Kec. Pak KLB | pencega | 3 | ŏ | 0 pencega | | Ö | | | | | | |
| | Puskesm Kel. Bend | 1E+06 Kec. Pak KLB | pencega | 3 | n | 0 pencega | | ő | | | | | | |
| | Puskesm Kel. Taml | 1E+06 Kec. Ase KLB | pencega | 3 | ő. | 0 pencega | | ő | | | | | | |
| | Puskesm Kel, Lont | 1E+06 Kec. San KLB | pencega | 3 | o o | 0 pencega | | ő | | | | | | |
| | Puskesm Kel, Made | 1E+06 Kec. San KLB | pencega | 3 | 0 | 0 pencega | | 0 | 27 | | | | | |
| | Puskesm Kel, Bring | 1E+06 Kec. San KLB | pencega | 3 | 0 | 0 pencega | | 0 | 21 | | | | | |
| | Puskesm Kel, Dring | 1E+06 Kec. San KLB | | 3 | 0 | 0 pencega | | 0 | 10 | | | | | |
| | Puskesm Kel, Peni | 1E+06 Kec. Ger KLB | pencega | 3 | 0 | | | 0 | 10 | | | | | |
| | | | pencega | 3 | 0 | 0 pencega | | 0 | | | | | | |
| | Puskesm Kel, Kapı | 1E+06 Kec. Ger KLB | pencega | 3 | 0 | 0 pencega | | 0 | 30 | | | | | |
| | Puskesm Kel. Keta | 1E+06 Kec. Ger KLB | pencega | | | 0 pencega | | | 30 | | | | | |
| | Puskesm Kel. Emb | 1E+06 Kec. Ger KLB | pencega | 3 | 0 | 0 pencega | | 0 | | | | | | |
| | Puskesm Kel. Kedı | 1E+06 Kec. Teg KLB | pencega | 3 | 1 | 0 pencega | | 1 | 147 | | | | | |
| | Puskesm Kel. Tega | 1E+06 Kec. Teg KLB | pencega | 3 | 0 | 0 pencega | | 0 | | | | | | |
| | Puskesm Kel. Dr. S | 1E+06 Kec. Teg KLB | pencega | 3 | 0 | 0 pencega | | 0 | 15 | | | | | |
| | Puskesm Kel. Won | 1E+06 Kec. Teg KLB | pencega | 3 | 0 | 0 pencega | | 0 | | | | | | |
| | Puskesm Kel. Kept | 1E+06 Kec. Teg KLB | pencega | 3 | 0 | 0 pencega | | 0 | | | | | | |
| | Puskesm Kel. Alun | 1E+06 Kec. But KLB | pencega | 3 | 0 | 0 pencega | | 0 | 38 | | | | | |
| | Puskesm Kel. Teml | 1E+06 Kec. But KLB | pencega | 3 | 0 | 0 pencega | | 0 | | | | | | |
| | Puskesm Kel. Jepa | 1E+06 Kec. But KLB | pencega | 3 | 0 | 0 pencega | Penanga | 0 | | | | | | |
| | Puskesm Kel. Gun | 1E+06 Keo, Bult KLB | pencega | 3 | 0 | 0 pencega | Penanga | 0 | 72 | | | | | |
| | Puskesm Kel, Bubi | 1E+06 Kec. But KLB | pencega | 3 | 0 | 0 pencega | Penanga | 0 | | | | | | |
| | Puskesm Kel, Taml | 1E+06 Kec. Sim KLB | pencega | 3 | Ö | 0 pencega | | ō | 45 | | | | | |
| | Puskesm Kel, Kapa | 1E+06 Kec. Sim KLB | pencega | 3 | 0 | 0 pencega | | 0 | | | | | | |
| | | 1E+06 Kec Sim KLB | pencega | 3 | n | O pencega | | n | | | | | | |

Gambar 1 Penderita HIV (Sumber:katalog.data.co.id)

2.2 Clustering Data

Dalam penelitian ini menggunakan model clustering untuk mengevaluasi data yang dilakukan dengan cara unsupervised learning dalam machine learning menggunakan dataset csv dari Katalog.data.co.id. Metode Clustering ini dengan dua algoritma machine learning yaitu K-means dan *Fuzzy-c-Means* beserta sihoulette dan davies bouildin index.Pengelompokan data diperlukan karena data yang belum diolah tidak mudah dilakukan analisis tujuannya untuk memahami data.

2.2.1 Metode K-Means

Algoritma K-Means unruk melakukan clustering melakukan penentuan nilai K atau cluster yang akan dibuat dan secara acak akan mendistribusikan data cluster kemudian menghitung rata – rata dari data K-means metode sederhana untuk analisis clustering untuk menentukan membagi entitas ke-n menjadi kelompok yang disebut cluster. Setiap cluster terbentuk meningkatkan kriteria fungsi. Euclidean digunakan sebagai jarak dalam metode K-means dengan rumus:

titik a = (a1, a2, ..., aK) dan titik b = (b1, b2, ..., bn) dapat dihitung dengan Rumus (1). $a(bi, at) = \sqrt{\sum (bij - atj)} l 2 j = 1$ (1) dimana: a = j arak antara nilai data dan nilai pusat cluster bi = n nilai data

2.2.2 Metode Fuzzy-C-Means

Menurut Bezdek (dalam Afiyah, 2014), analisis clustering fuzzy menggunakan tingkat keanggotaan dan cluster fuzzy sebagai pembobot untuk pengelompokan. Metode ini merupakan evolusi dari metode pembagian data yang menggunakan Fuzzy clustering memiliki keunggulan utama, yaitu dapat memberikan hasil pengelompokan untuk objek yang tersebar tidak teratur. Ini disebabkan oleh kemungkinan bahwa suatu titik data memiliki sifat atau karakteristik dari suatu cluster lain, sehingga kecenderungan titik data terhadap suatu cluster. Bezdek (1981) merumuskan masalah fuzzy clustering secara matematis sebagai optimasi kendala (Efiyah, 2014). Sebelum melakukan clustering fuzzy, beberapa hal harus diketahui (Kusumadewi dkk., 2006): 1. Cluster Fuzzy dengan rumus berikut dapat dilihat pada gambar 2.

$$V_{kj} = \frac{\sum_{i=1}^{n} ((\mu_{ik})^{w} X_{ij})}{\sum_{i=1}^{n} (\mu_{ik})^{w}}$$

Gambar 2. rumus Fuzzy C Means

Vkj = pusat cluster untuk atribut j

Nik = derajat anggota untuk data sampel ke I dan k

Xiji data ke I dan ke j

2.2.3 Evaluasi Clustering Silhouette

Metode evaluasi *silhouette* dikembangkan oleh *Rousseeuw*.Nilai silhouette terletak pada rentang 1 banding 1 kemudian *clustering* yang baik memiliki nilai *silhouette* positif. *Silhouette* dihitung menggunakan formula dapat dilihat pada gambar 3.

Evaluasi Clustering: Silhouette

| Nilai Silhouette | Interpretasi | | | | |
|------------------|--------------------------------|--|--|--|--|
| 0.71 - 1.00 | Struktur yang dihasilkan kuat | | | | |
| 0.51 - 0.70 | Struktur yang dihasilkan baik | | | | |
| 0.26 - 0.50 | Struktur yang dihasilkan lemah | | | | |
| ≤ 0.25 | Tidak terstruktur | | | | |

Gambar 3 Evaluasi Clustering Silhouette

2.2.4 Evaluasi davies boildin index

Evaluasi pada metode *fuzzy c means* untuk mengetahui hasil baik *clustering* yang dihasilkan menghitung kuantitas dari turunan data yang diperoleh untuk memaksimalkan jarak antar cluster dengan rumus sebagai dapat dilihat pada gambar 4.

$$R_i = \max_{j=1,\dots k, i \neq j} R_{ij} = \frac{\mathrm{var}(C_i) + \mathrm{var}(C_j)}{\parallel c_i - c_j \parallel}$$

Gambar 4 Rumus davies Boildin Index

| Davies Bouldin Index Value | | | | | | | | | | |
|----------------------------|---|---|---|--|--|--|--|--|--|--|
| | Simple K-M | eans | K-Means with centroid based min SSE | | | | | | | |
| k=2 | k=3 | k=4 | k=2 | k=3 | k=4 | | | | | |
| 0.4296 | 0.0524 | 0.0406 | 0.1366 | 0.0493 | 0.0372 | | | | | |
| 0.4296 | 0.0491 | 0.0358 | 0.2392 | 0.0540 | 0.0409 | | | | | |
| 0.4296 | 0.0524 | 0.0322 | 0.2392 | 0.0505 | 0.0373 | | | | | |
| 0.4296 | 0.0661 | 0.0367 | 0.2392 | 0.0493 | 0.0409 | | | | | |
| 0.2845 | 0.0493 | 0.0391 | 0.2392 | 0.0493 | 0.0372 | | | | | |
| 0.2845 | 0.0679 | 0.0515 | 0.2392 | 0.0493 | 0.0319 | | | | | |
| 0.2845 | 0.0493 | 0.0320 | 0.2392 | 0.0493 | 0.0373 | | | | | |
| 0.4296 | 0.0576 | 0.0407 | 0.2392 | 0.0491 | 0.0409 | | | | | |
| 0.4296 | 0.0493 | 0.0365 | 0.1366 | 0.0493 | 0.0365 | | | | | |
| 0.4296 | 0.0661 | 0.0407 | 0.2392 | 0.0493 | 0.0406 | | | | | |
| | | | | | | | | | | |
| 0.38607 | 0.05595 | 0.03858 | 0.21868 | 0.04987 | 0.03807 | | | | | |
| | k=2 0.4296 0.4296 0.4296 0.4296 0.2845 0.2845 0.2845 0.4296 0.4296 | k=2 k=3 0.4296 0.0524 0.4296 0.0491 0.4296 0.0524 0.4296 0.0661 0.2845 0.0493 0.2845 0.0493 0.4296 0.0576 0.4296 0.0493 0.4296 0.0493 0.4296 0.0493 | k=2 k=3 k=4 0.4296 0.0524 0.0406 0.4296 0.0491 0.0358 0.4296 0.0524 0.0322 0.4296 0.0661 0.0367 0.2845 0.0493 0.0391 0.2845 0.0493 0.0320 0.2845 0.0493 0.0320 0.4296 0.0576 0.0407 0.4296 0.0493 0.0365 0.4296 0.0661 0.0407 | Simple K-Means K-Means k=2 k=3 k=4 k=2 0.4296 0.0524 0.0406 0.1366 0.4296 0.0491 0.0358 0.2392 0.4296 0.0524 0.0322 0.2392 0.4296 0.0661 0.0367 0.2392 0.2845 0.0493 0.0391 0.2392 0.2845 0.0679 0.0515 0.2392 0.2845 0.0493 0.0320 0.2392 0.4296 0.0576 0.0407 0.2392 0.4296 0.0493 0.0365 0.1366 0.4296 0.0661 0.0407 0.2392 | Simple K-Means K-Means with centroi min SSE k=2 k=3 k=4 k=2 k=3 0.4296 0.0524 0.0406 0.1366 0.0493 0.4296 0.0491 0.0358 0.2392 0.0540 0.4296 0.0524 0.0322 0.2392 0.0505 0.4296 0.0661 0.0367 0.2392 0.0493 0.2845 0.0493 0.0391 0.2392 0.0493 0.2845 0.0679 0.0515 0.2392 0.0493 0.2845 0.0493 0.0320 0.2392 0.0493 0.4296 0.0576 0.0407 0.2392 0.0491 0.4296 0.0493 0.0365 0.1366 0.0493 0.4296 0.0661 0.0407 0.2392 0.0493 0.4296 0.0661 0.0407 0.2392 0.0493 | | | | | |

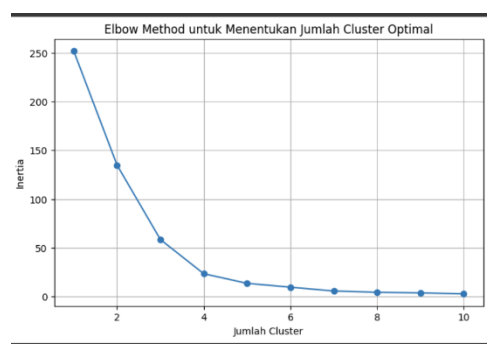
Gambar 5 Evaluasi Davies Boildin index

3. HASIL DAN PEMBAHASAN

3.1. Performa K-Means

Pengelompokan data dengan metode K-Means terjadi dimana semua jumlah data per kategori sudah dikelompokan berdasarka jenis dan jumlah total data yang ada pada gambar 6. Kemudian statistik data elbow yang muncul dapat dilihat pada gambar 7.

Gambar 6 Pengelompokan K-Means



Gambar 7 elbow K-Means

3.2. Performa Fuzzy C means

Parameter yang digunakan pada model ini yaitu random state yang merupakan pembuat bilangan acak dalam clustering. Model ini menetapkan nilai random_state dimulai dari angka 0. Hasil dari metode FCM dapat dilihat pada Gambar 4.

```
Distribusi jumlah data per cluster:

cluster

1.0 57

0.0 5

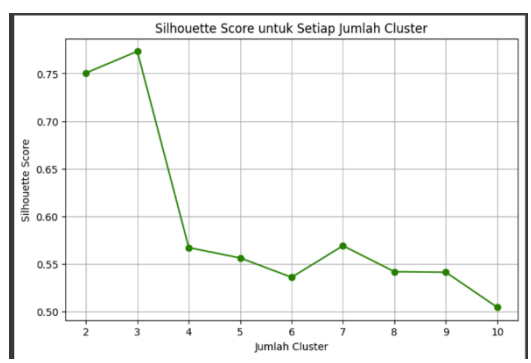
2.0 1

Name: count, dtype: int64
```

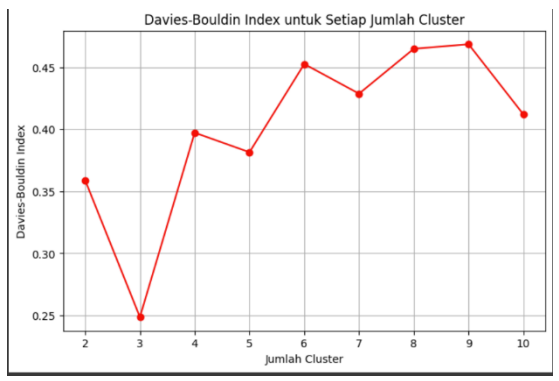
Gambar 8 hasil clustering Fuzzy C Means

3.3. Evaluasi menggunakan Silhouette dan Davies Boildin Index

Masing-masing metode ini melampirkan hasil *elbow* yang ada kemudian setelah di *clustering* data akan muncul Kembali dengan data yang sebenarnya dapat dilihat pada gambar 9 metode *silhouette* dan gambar 10 davies boildin.



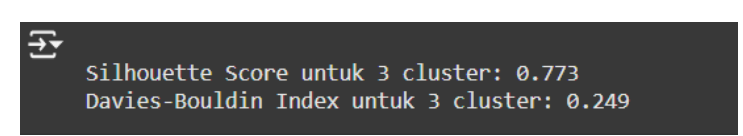
Gambar 9 Silhouette score



Gambar 10 Davies Boildin Index

3.4. Perbandingan Performa Algoritma

Metode clustering yang dilakukan dibandingkan akurasinya dan evaluasi agar dapat terlihat metode mana yang memiliki performa terbaik. Perbandingan evaluasi clustering ini dapat dilihat pada Gambar 11.



Gambar 11. perbandingan akurasi clustering

4. KESIMPULAN

Perbandingan evaluasi machine learning yang telah diuji coba menghasilkan nilai akurasi yang cukup akurat yaitu *K-Means silhouette* dengan cepat 3 cluster dengan akurasi 0.773 kemudian *Fuzzy C-Means Davies Boildin index* dengan cepat 3 cluster dengan akurasi 0.249 Komparasi Algoritma *Machine Learning Clustering Fuzzy-C-Means* lebih akurat daripada K-Means saat melakukan clustering analisis data HIV dengan penanganan berstandar nasional Indonesia di Provinsi Jatim Surabaya. Hasil penelitian ini perlu di uji pada data yang lebih besar untuk lebih detail mengetahui hasil evaluasi.

DAFTAR PUSTAKA

- [1] A. W. P. Samudra, R. A. Susanto, A. R. Putra, F. I. Kurniadi, dan B. Juarto, "Klasifikasi HIV AIDS dengan Aplikasi Rapid Miner," Sist. Komput. dan Kecerdasan Buatan, no. 1, hal. 15–19, 2022.
- [2] R. Alhamidi, "Membaca Grafik Kasus HIV/AIDS di Jabar: Naik 3 Tahun Terakhir!," detikjabar, 2022. https://www.detik.com/jabar/berita/d6262009/membaca-grafik-kasus-hivaids-dijabar-naik-3-tahunterakhir (diakses 18 Januari 2023).
- [3] A. A. Lesmana et al., "Implementasi Algoritma K-Means Untuk Clustering Penyakit Hiv / Aids Di Indonesia Implementation of Kmeans Algorithm for Clustering of Hiv / Aids Disease in Indonesia," eProceeding Eng., vol. 6, no. 2, hal. 5564–5580, 2019.
- [4] R. I. L. Sinaga, W. Saputra, dan H. Qurniawan, "Pengelompokan Jumlah Kasus Penyakit Aids Berdasarkan Provinsi Menggunakan Metode KMeans," Kesatria Jurnal Penerapan Sist. Inf. (Komputer Manajemen), vol. 2, no. 2, hal. 99–107, 2021.
- [5] dosbing.id, "Proses tahapan data mining," dosbing.id, 2023. https://dosbing.id/2023/04/21/proses-tahapandata-mining/ (diakses 4 Februari 2023).
- [6] A. Y. E. Dodu, D. W. Nugraha, dan M. A. Ayyub, "Penerapan Data Mining Untuk Mendeteksi Tingkatan Stadium Penyakit *Human Immunodeficiency* Virus/*Acquired Immune Deficiency Syndrome* (Hiv/Aids) Menggunakan Algoritma Naive Bayes Classifier (Studi Kasus Pada Rumah Sakit Umum Daerah (Rsud) Anutapura Palu)," Sci. Comput. Sci. Informatics J., vol. 1, no. 1, hal. 33, 2019, doi: 10.22487/j26204118. 2018.v1.i1.11900.
- [7] V. Herlinda dan D. Darwis, "Analisis Clustering Untuk Recredesialing Fasilitas Kesehatan Menggunakan Metode Fuzzy C-Means," Teknol. dan Sist. Inf., vol. 2, no. 2, hal. 94–99, 2021, [Daring]. Tersedia pada: http://jim.teknokrat.ac.id/index.php/JTSI
- [8] H. Noor, A. Dharmawati, dan T. W. Qur'ana, "Penerapan Algoritma K-Means Clustering Analysis Pada Kasus Penderita Hiv/Aids (Studi Kasus Kabupaten Banjar)," Technol. J. Ilm., vol. 12, no. 2, hal. 72, 2021, doi: 10.31602/tji. v12i2.4573.
- [9] D. Y. Nugroho, A. Wibowo, F. Kesehatan, dan M. Universitas, "Analisis Cluster K Means Kabupaten / Kota Di Jawa Timur Berdasarkan Level Epidemik Hiv Cluster K Means Analysis of The HIV Epidemic Level In," Biometrika dan Kependud., vol. 8, no. 2, hal. 108–117, 2019, doi: 10.20473/jbk. v8i2.2019.108.
- [10] opendata.jabarprov.go.id, "Jumlah Kasus HIV Berdasarkan Kelompok Umur di Jawa Barat," opendata.jabarprov.go.id, 2021. https://opendata.jabarprov.go.id/id/dataset/jumla h-kasus-hiv-berdasarkan-kelompok-umur-dijawa-barat (diakses 18 Januari 2023).

- [11] D. Latifatul Fajri, "Studi Pustaka Adalah Referensi Penelitian, Ini Penjelasan Lengkapnya," katadata, 2022. https://katadata.co.id/agung/berita/62e773e3da7 62/studi-pustaka-adalah-referensi-penelitian-inipenjelasan-lengkapnya (diakses 27 Januari 2023).
- [12] E. R. Wardhani, "Manajemen Perubahan Dalam Implementasi Reformasi Birokrasi Internal," 2018. [Daring]. Tersedia pada: http://repository.upi.edu/44420/7/T_ADPEN_16 08369_Chapter3.pdf
- [13] H. Noor, A. Dharmawati, and T. W. Qur'ana, "Penerapan Algoritma K-Means Clustering Analysis Pada Kasus Penderita Hiv/Aids (Studi Kasus Kabupaten Banjar)," Technol. J. Ilm., vol. 12, no. 2, p. 72, 2021, doi: 10.31602/tji. v12i2.4573.
- [14] D. Rohmatullailah and D. Fikriyah, "Faktor Risiko Kejadian HIV Pada Kelompok Usia Produktif di Indonesia," J. Biostat. Kependudukan, dan Inform. Kesehat., vol. 2, no. 1, p. 45, 2021, doi: 10.51181/bikfokes. v2i1.4652.
- [15] R. I. L. Sinaga, W. Saputra, and H. Qurniawan, "Pengelompokan Jumlah Kasus Penyakit Aids Berdasarkan Provinsi Menggunakan Metode K-Means," J. Penerapan Sist. Inf. (Komputer Manajemen), vol. 2, no. 2, pp. 99–107, 2021.
- [16] D. Y. Nugroho, A. Wibowo, F. Kesehatan, and M. Universitas, "Analisis Cluster K Means Kabupaten / Kota Di Jawa Timur Berdasarkan Level Epidemik HIV Cluster K Means Analysis of The HIV Epidemic Level In," vol. 8, no. 2, pp. 108–117, 2019, doi: 10.20473/jbk. v8i2.2019.108.
- [17] Z. Khan, "HIV-Infected People Data," vol. 100, no. 13, pp. 5010–5018, 2022.
- [18] N. A. Mufid, D. Risqi, N. Hanum, and A. H. Sidiq, "Clustering Kabupaten / Kota di Jawa Tengah Tahun 2022 berdasarkan Jumlah Kasus Kemunculan Penyakit dengan Algoritma K-Means," no. 1, pp. 1–14, 2023
- [19] F. Novianti, Y. R. Aisyah Yasmin, and D. C. R. Novitasari, "Penerapan Algoritma Fuzzy C-Means (FCM) dalam Pengelompokan Provinsi di Indonesia berdasarkan Indikator Penyakit Menular Manusia," JUMANJI (Jurnal Masy. Inform. Unjani), vol. 6, no. 1, p. 23, 2022, doi: 10.26874/jumanji. v6i1.103.
- [20] T. P. Sari, A. L. Hananto, E. Novalia, T. Tukino, and S. S. Hilabi, "Implementasi Algoritma K-Means dalam Analisis Klasterisasi Penyebaran Penyakit Hiv/Aids," Infotek J. Inform. dan Teknol., vol. 6, no. 1, pp. 104–114, 2023, doi: 10.29408/jit. v6i1.7423.
- [21] E. M. Fitri, R. R. Suryono, and A. Wantoro, "Klasterisasi Data Penjualan Berdasarkan Wilayah Menggunakan Metode K-Means Pada Pt Xyz," J. Komputasi, vol. 11, no. 2, pp. 157–168, 2023, doi: 10.23960/komputasi. v11i2.12582.
- [22] W. Rianti and E. Harahap, "Pengolahan Data Hasil Penjualan Online Menggunakan Aplikasi Microsoft Excel," Mat. J. Teor. dan Terap. Mat., vol. 20, no. 2, pp. 69–76, 2021, [Online]. Available: https://journals.unisba.ac.id/index.php/matematika/article/view/1553
- [23] P. S. Rosiana, A. A. Mohsa, and Y. Umaidah, "Implementasi K-Means Dalam Pengelompokan Penyebaran Penyakit Dbd Di Jawa Barat," J. Inform. dan Tek. Elektro Terap., vol. 11, no. 3, pp. 782–788, 2023, doi: 10.23960/jitet. v11i3.3344.
- [24] D. I. Yunistya, R. Goejantoro, F. Deny, and T. Amijaya, "The Application Of K-Harmonic Means Method in District/City Grouping (Case Study: Poverty in Kalimantan Island in 2020) Penerapan Metode K-Harmonic Means Dalam Pengelompokan Kabupaten/Kota (Studi Kasus: Kemiskinan di Pulau Kalimantan Tahun 2020)," J. Mat. Stat. dan Komputasi, vol. 19, no. 1, pp. 51–64, 2022, doi: 10.20956/j. v19i1.21116.
- [25] A.- Shoolihah, M. T. Furqon, and A. W. Widodo, "Implementasi Metode *Improved K-Means* untuk Mengelompokkan Titik Panas Bumi," vol. 1, no. 11, pp. 1270–1276, 2019.